

# Berggrundskartan

## 25G Ammarnäs SV

Bedrock map

Skala 1:50 000



2021

En beskrivning till kartan kan beställas från SGUs kundtjänst eller hämtas på SGUs webbplats [www.sgu.se](http://www.sgu.se).

ISSN 1652-8308  
ISBN 978-91-7103-491-2

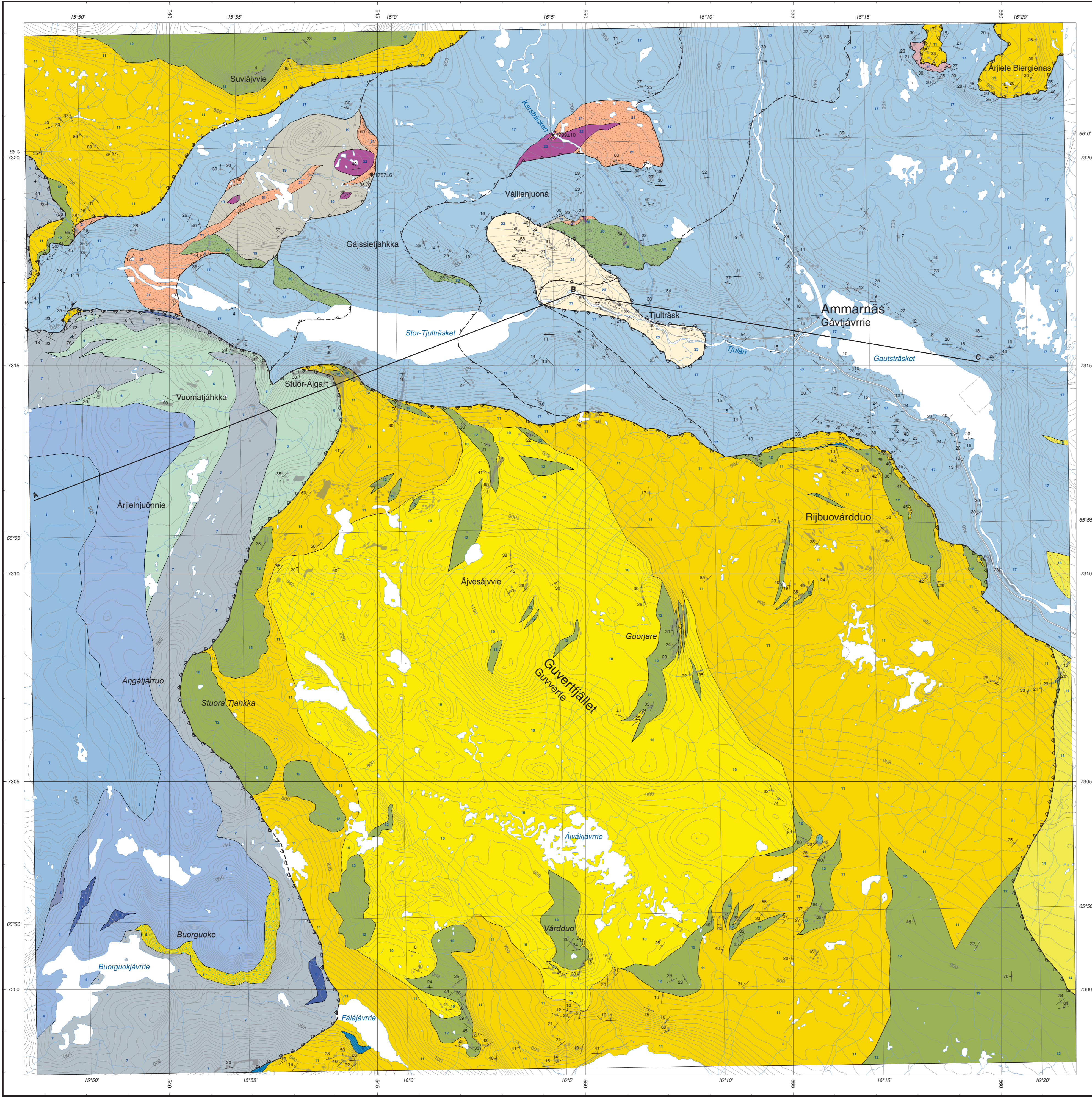
Den geologiska karteringen av kartområdet 25G Ammarnäs SV har utförts åren 2007 till 2017 av Reinhard Greling med bistånd av Jens Grimmer (Karlsruher Institut für Technologie, KIT). Därutöver ingår information från fältspår och tillhörande hållkartor sedan 1970-talet från SGUs arkiv och resultat av kartningskursen från Karlsruher Institut für Technologie (KIT), en lista över författarna till fältspår och kartdeltagarna finns i beskrivningen till kartområdena 25G Ammarnäs NV, NO, SV & SO. Reinhard Greling har också sammanställt uppgifter om berg- och mineralresurser.

Kartan är sammanställd av Reinhard Greling. Beskrivningen som avser kartområdena 25G Ammarnäs NV, NO, SV & SO är sammanställd av Reinhard Greling och Bernt Kothof (geolog samt berg- och mineralresurser). I beskrivningen ingår även ett bidrag om paleozoiska fossil av Thomas Weidner, Arne Thorsén Nielsen & Jan Ove R. Ebbestad. Digitaliseringen har utförts av Reinhard Greling, Stefan Bergman och Bernt Kothof. Beroende digitalt format har givits av Peter Corbett (EPFL/ETHZ).

Kartan kan endast levereras i digital form.

Referens till kartan: Greling, R.O., Grimmer, J.C. & Kothof, B., 2021: Berggrundskartan 25G Ammarnäs SV, skala 1:50 000. Sveriges geologiska undersökning K 684.

Reference to the map: Greling, R.O., Grimmer, J.C. & Kothof, B., 2021: Bedrock map 25G Ammarnäs SV, scale 1:50 000. Sveriges geologiska undersökning K 684.



- Observed håll  
Observed outcrop
- Stenbrott, nedlagt  
Quarry, abandoned
- Stenbrott, krossberg, nedlagt täkt  
Quarry, aggregate, abandoned
- 1523a6  
Provpunkt för radiometrisk datering, ålder i miljoner år  
Sample site for radiometric dating, age in million years
- A B  
Profil  
Cross-section
- Litologisk kontakt  
Lithological contact
- Överskjutning, regional, plastisk  
Thrust, regional, ductile
- Överskjutning, lokal, plastisk  
Thrust, local, ductile
- Överskjutning, lokal, spröd-plastisk  
Thrust, local, brittle-ductile
- Överskjutning, lokal, spröd  
Thrust, local, brittle
- Överskjutning, lokal, spröd-plastisk, repeterande tidigare skollängsner  
Thrust, local, brittle-ductile, out of sequence thrust
- Foliation, gradtal för stupning  
Foliation, dip in degrees

- Övre skollberggrunden, Upper Allochthon**  
**Undre Kålskollan, Lower Kåli nappe**
- 1 Kalkfyllit, Lovfjällsformationen; ordovicium-silur  
Calcareous phyllite; Lovfjäll formation; Ordovician-Silurian
  - 2 Kalksten; Slådalsformationen; ordovicium-silur  
Limestone; Slådals formation; Ordovician-Silurian
  - 3 Kalksten; Gilliksformationen; kambrium-ordovicium  
Limestone; Gilliks formation; Cambrian-Ordovician
  - 4 Gråvacka; Gilliksformationen; kambrium-ordovicium  
Greywacke; Gilliks formation; Cambrian-Ordovician
  - 5 Kvarterit; Gilliksformationen; kambrium-ordovicium  
Quartzite; Gilliks formation; Cambrian-Ordovician
  - 6 Basalt-andesit; Seimaformationen; kambrium-ordovicium  
Basalt-andesite; Seima formation; Cambrian-Ordovician
  - 7 Fyllit; Seimaformationen; kambrium-ordovicium  
Phyllite; Seima formation; Cambrian-Ordovician
  - 8 Kalksten; Seimaformationen; kambrium-ordovicium  
Limestone; Seima formation; Cambrian-Ordovician

- Seveskollkomplexet, Seve nappe complex**  
**Undre Seveskollan, Lower Seve nappe**
- 9 Marmor, i allmänhet kalkitisk, kalksilikatbergart; neoproterozoikum  
Marble, generally calcitic, calc-silicate rock; Neoproterozoic
  - 10 Kvarterit, kvartarskist, gnejs; neoproterozoikum  
Quartzite, quartzite gneiss; Neoproterozoic
  - 11 Glimmerskiffer, gnejs, i allmänhet granat-, biotit- eller muskovitförande; neoproterozoikum  
Mica schist, gneiss, generally garnet-, biotite- or muscovite-bearing; Neoproterozoic
  - 12 Amphibolit, mindre inslag av gnejs eller glimmerskiffer; neoproterozoikum  
Amphibolite, minor intercalations of gneiss or mica schist; Neoproterozoic
  - 13 Metakonglomerat; opspecifierad ålder  
Metakonglomerate; unspecified age

- Mellersta skollberggrunden, Middle Allochthon**  
**Slussforsskollan, Slussfors Nappe**
- 14 Glimmerskiffer, gnejs, i allmänhet muskovitförande, underordnad biotit och granat; tonium-kambrium  
Mica schist, gneiss, generally muscovite-bearing, subordinate biotite and garnet; Tonian-Cambrian

- Sadelväskskollan, Sadelväsk Nappe**
- 15 Felsk gnejs med muskovit-, biotit- eller granatförande mellanlager, meta-arkos; tonium-kambrium  
Felsic gneiss with muscovite-, biotite- or garnet-bearing intercalations, meta-arkose; Tonian-Cambrian
- Ammarnäs-komplexet, Ammarnäs complex**
- 16 Glimmerskiffer med muskovit, biotit och granat; tonium-kambrium  
Mica schist with muscovite, biotite and garnet; Tonian-Cambrian
  - 17 Gråvacka, småre granatförande pelitiska inlagringar; tonium-kambrium  
Greywacke, minor garnet-bearing pelitic intercalations; Tonian-Cambrian
  - 18 Diabas; 1,28–1,20 Ga  
Dolerite; 1,28–1,20 Ga
  - 19 Mylonitisk gnejs; > 1,6 Ga  
Mylonitic gneiss; > 1,6 Ga
  - 20 Metabasalt, delvis forskifrad, mylonitisk; 1,87–1,66 Ga  
Metabasaltic rock, partly schistose, mylonitic; 1,87–1,66 Ga
  - 21 Monzonit-granodiorit; 1,87–1,66 Ga  
Monzonite-granodiorite; 1,87–1,66 Ga
  - 22 Metakonglomerat; paleoproterozoisk  
Metakonglomerate; Paleoproterozoic

- Undre skollberggrunden, Lower Allochthon**
- 23 Arkos med skifferinlagringar; Risbäckgruppen; kryogenium-ediacara  
Arkose with intercalations of slate; Risbäck group Cryogenian-Ediacaran

**Karteringsmetod och kartans noggrannhet**  
Berggrundskartan ger en generaliserad bild av bergarternas utbredning och struktur. Observationer av bergarter, bergartsstrukturer, omvandlingsgrad och bergarternas åldersrelationer görs på hållar. Där berggrunden är täckt av lösa avlagringar tolkas dess sammansättning från närliggande hållsamtationer och geofysiska mätresultat, samt i förekommande fall från bormingar och grävningar. De geofysiska mätresultaten erhålls från flygmätningar av det magnetiska och det elektromagnetiska fältet och av den naturliga radioaktiva strålningen (uran, torium och kalium) samt från kompletterande markmätningar av dessa och av tyngdkraftsfältet. Berggrundstyper som är för små för att avgränsa i den aktuella kartskalan redovisas som linje- eller punktköpet. Bergarternas och strukturernas utbredning på djupet redovisas i profiler. Läge- och höjdnoggrannheten för observerade företeelser är i normala fall bättre än 50 meter. För tolkade företeelser, t.ex. bergartsgränser, kan den vara betydligt sämre beroende på observationslätthet och svag geofysisk kontrast mellan olika bergarter. Information som tas fram vid kartläggningen lagras i SGUs databaser. Dessa innehåller en stor mängd information som inte visas på den tryckta kartan, t.ex. detaljerade uppgifter om mineralförekomster, bergarters mineralinnehåll och kemiska sammansättning samt petrofysiska egenskaper och naturlig radioaktiv strålning. Den digitalt lagrade informationen kan erhållas genom SGUs kundtjänst.

